

การควบคุมแรงส่งผ่านไปยังพื้นโดยใช้ตัวดูดซับการสั่นสะเทือนสำหรับเครื่องจักรที่แปรความเร็วรอบ



นาย เอกพงษ์ ตั้งพัฒน์เสรี

วิทยานิพนธ์นี้เป็นส่วนหนึ่งของการศึกษาตามหลักสูตรปริญญาวิศวกรรมศาสตรมหาบัณฑิต

สาขาวิชาวิศวกรรมเครื่องกล ภาควิชาวิศวกรรมเครื่องกล

คณะวิศวกรรมศาสตร์ จุฬาลงกรณ์มหาวิทยาลัย

ปีการศึกษา 2544

ISBN 974-03-1043-5

ลิขสิทธิ์ของจุฬาลงกรณ์มหาวิทยาลัย

**A CONTROL OF THE TRANSMITTED FORCE TO GROUND BY USING A VIBRATION ABSORBER
FOR A VARIABLE SPEED MACHINE**

Mr. Ekapong Tangpattanaaeree

**A Thesis Submitted in Partial Fulfillment of the Requirements
for the Degree of Master of Engineering in Mechanical Engineering**

Department of Mechanical Engineering

Faculty of Engineering


Chulalongkorn University

Academic Year 2001

ISBN 974-03-1043-5

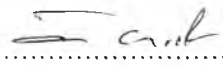
หัวข้อวิทยานิพนธ์ การควบคุมแรงส่งผ่านไปยังพื้นโดยใช้ตัวดูดซับการสั่นสะเทือนสำหรับ
เครื่องจักรที่แปรความเร็วรอบ
โดย นายเอกพงษ์ ตั้งพัฒน์เสรี
สาขาวิชา วิศวกรรมเครื่องกล
อาจารย์ที่ปรึกษา รองศาสตราจารย์ ดร.วิทยา ยงเจริญ

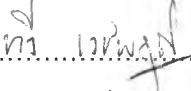
คณะวิศวกรรมศาสตร์ จุฬาลงกรณ์มหาวิทยาลัย อนุมัติให้รับวิทยานิพนธ์ฉบับนี้
เป็นส่วนหนึ่งของการศึกษาตามหลักสูตรปริญญามหาบัณฑิต

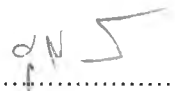

..... คณบดีคณะวิศวกรรมศาสตร์
(ศาสตราจารย์ ดร.สมศักดิ์ ปัญญาแก้ว)

คณะกรรมการสอบวิทยานิพนธ์


..... ประธานกรรมการ
(รองศาสตราจารย์ ดร.สมศักดิ์ ไชยะภินันท์)


..... อาจารย์ที่ปรึกษา
(รองศาสตราจารย์ ดร.วิทยา ยงเจริญ)


..... กรรมการ
(รองศาสตราจารย์ ทวี เวชพฤติ)


..... กรรมการ
(ผู้ช่วยศาสตราจารย์ จีระศักดิ์ เมฆอัมพรพงศ์)

นาย เอกพงษ์ ตังพัฒนาเสรี : การควบคุมแรงส่งผ่านไปยังพื้นโดยใช้ตัวดูดซับการสั่นสะเทือนสำหรับเครื่องจักรที่แปรความเร็วรอบ. (A CONTROL OF THE TRANSMITTED FORCE TO GROUND BY USING A VIBRATION ABSORBER FOR A VARIABLE SPEED MACHINE) อ. ที่ปรึกษา : รศ.ดร. วิทยา ยงเจริญ, 182 หน้า. ISBN 974-03-1043-5.

งานวิจัยนี้มีจุดประสงค์เพื่อนำตัวดูดซับการสั่นสะเทือนมาใช้กับเครื่องจักรที่มีการทำงานแบบหมุน มีการเปลี่ยนแปลงความเร็วรอบในการทำงาน และควบคุมให้แรงส่งผ่านไปยังพื้นมีค่าต่ำที่สุด ตัวดูดซับการสั่นสะเทือนประกอบด้วยมวลและคานที่สามารถเปลี่ยนค่าความแข็งสปริงตามความเร็วรอบของเครื่องจักรในช่วง 300 ถึง 1500 รอบต่อนาที

จากผลการวิเคราะห์การสั่นสะเทือนของระบบการสั่นสะเทือนในแบบ 6 ลำดับชั้นความเร็ว การสั่นสะเทือนในแนวตั้งไม่มีการควบของพิกัดกับพิกัดอื่น ผลจากค่าความหน่วงมีค่าน้อยมาก อิเนอร์เชียลล็อกที่ติดตั้งในระบบช่วยลดแอมพลิจูดการกระจัด การติดตั้งตัวดูดซับการสั่นสะเทือนช่วยลดค่าการส่งผ่านหรือแรงส่งผ่านไปยังพื้นได้มาก อัตราส่วนมวลที่สูงช่วยลดการสั่นสะเทือนที่เป็นผลจากความคลาดเคลื่อนของค่าความแข็งสปริงของตัวดูดซับได้ แต่ต้องคำนึงถึงมวลที่ใหญ่ขึ้นของตัวดูดซับการสั่นสะเทือนด้วย

ภาควิชา วิศวกรรมเครื่องกล

สาขาวิชา วิศวกรรมเครื่องกล

ปีการศึกษา 2544

ลายมือชื่อนิสิต..... เอกพงษ์ ตังพัฒนาเสรี

ลายมือชื่ออาจารย์ที่ปรึกษา..... Sant

4170657021 : MAJOR MECHANICAL ENGINEERING

KEY WORD : VIBRATION ISOLATION / ISOLATOR / VIBRATION ABSORBER / TRANSMISSIBILITY / TRANSMITTED FORCE / SPRING

EKAPONG TANGPATTANASAEREE : A CONTROL OF THE TRANSMITTED FORCE TO GROUND BY USING A VIBRATION ABSORBER FOR A VARIABLE SPEED MACHINE. THESIS ADVISOR : ASSOC.PROF. WITHAYA YONGCHAROEN, Ph.D. 182 pp. ISBN 974-03-1043-5.

The purpose of this research is to install the vibration absorber to use with a rotary machine that varies working speed and to control transmitted force to be minimized. The absorber consists of mass and beam that can varies the spring stiffness according to the machine speed

From analyzing the vibration of system in 6 degrees of freedom, the vertical vibration does not couple with the other coordinate and the effect of damping is very low. Inertia block installed in the system reduce the vibration amplitude of the machine. By installing the vibration absorber and adjusting the beam supporting position to suit the speed machine, the transmissibility and transmitted force decrease significantly. High mass ratio decreases the vibration effected from inaccuracy absorber spring stiffness but the higher absorber mass must be considered.

Department	Mechanical Engineering	Student's signature.....	เอกพงษ์ ตังพัตตานาเสรี
Field of Study	Mechanical Engineering	Advisor's signature.....	วิทايا ยงชารoen
Academic year	2001		

กิตติกรรมประกาศ

วิทยานิพนธ์ฉบับนี้สำเร็จลุล่วงไปได้ด้วยความช่วยเหลืออย่างยิ่งของ รศ.ดร.วิทยา ยงเจริญ อาจารย์ที่ปรึกษาวิทยานิพนธ์ที่กรุณาให้คำปรึกษาและคำแนะนำที่เป็นประโยชน์อย่างยิ่ง ต่อการทำวิจัย รวมทั้งความพร้อมของชุดทดลองในห้องปฏิบัติการ Measurement & Instrumentation ผู้วิจัยขอกราบขอบพระคุณเป็นอย่างสูง

ขอขอบพระคุณ ผศ.ดร.ชัยโรจน์ คุณพนชกิจที่กรุณาให้ยืมอุปกรณ์วัดการสั่นสะเทือน ตลอดจนการทำงานวิจัย

ขอขอบคุณบัณฑิตวิทยาลัยสำหรับทุนวิจัยบัณฑิตวิทยาลัย ซึ่งช่วยแบ่งเบาค่าใช้จ่ายและ วัสดุอุปกรณ์ในการทำงานวิจัยไปได้อย่างมาก

ขอขอบคุณครูและช่างเทคนิคประจำภาควิชาวิศวกรรมเครื่องกลที่คอยให้คำแนะนำใน ด้านงานช่าง และอำนวยความสะดวกในการยืมอุปกรณ์สำหรับทำงานช่างต่าง ๆ

ขอขอบคุณพี่ ๆ เพื่อน ๆ นิสิตปริญญาโทและปริญญาเอกของภาควิชาวิศวกรรมเครื่องกล จุฬาลงกรณ์มหาวิทยาลัย ซึ่งคอยให้กำลังใจและให้คำแนะนำซึ่งเป็นประโยชน์ต่องานวิจัย

ขอขอบคุณบุคลากรธุรการประจำภาควิชาวิศวกรรมเครื่องกลที่คอยอำนวยความสะดวก ในด้านงานธุรการตลอดการทำงานวิจัย

ท้ายนี้ ผู้วิจัยขอกราบขอบพระคุณบิดา มารดา และครอบครัวของผู้วิจัยที่เห็นความสำคัญ ของการศึกษาและให้ความสนับสนุนด้านการศึกษาโดยตลอด

ประโยชน์อันใดจากงานวิจัยนี้ ขอมอบแต่บิดา มารดา ครู อาจารย์ ตลอดจนผู้มีพระคุณ ทุกท่าน

สารบัญ

	หน้า
บทคัดย่อภาษาไทย.....	ง
บทคัดย่อภาษาอังกฤษ.....	จ
กิตติกรรมประกาศ.....	ฉ
สารบัญ.....	ช
สารบัญตาราง.....	ญ
สารบัญภาพ.....	ฎ
คำอธิบายสัญลักษณ์.....	ด
บทที่ 1 บทนำ.....	1
1-1 ความสำคัญและที่มาของวิทยานิพนธ์.....	1
1-2 งานวิจัยที่ผ่านมา.....	2
1-3 วัตถุประสงค์ของวิทยานิพนธ์.....	9
1-4 ขอบเขตของวิทยานิพนธ์.....	9
1-5 ขั้นตอนการทำการศึกษ.....	9
1-6 ผลที่คาดว่าจะได้รับจากวิทยานิพนธ์.....	10
1-7 ภาพรวมของงานวิจัย.....	10
บทที่ 2 ทฤษฎีพื้นฐานเกี่ยวกับการกันการสั่นสะเทือน.....	12
บทที่ 3 ทฤษฎีพื้นฐานเกี่ยวกับตัวดูดซับการสั่นสะเทือน.....	20
3-1 ตัวดูดซับการสั่นสะเทือนสำหรับระบบที่ไม่มีตัวหน่วง.....	20
3-2 ตัวดูดซับการสั่นสะเทือนสำหรับระบบที่มีตัวหน่วง.....	25
บทที่ 4 สปริงที่สามารถปรับค่าความแข็งสปริง.....	30
4-1 สปริงอากาศ.....	30
4-1-1 แบบจำลองทางคณิตศาสตร์ของสปริงอากาศ.....	30
4-1-2 วิธีการควบคุมความแข็งสปริงของสปริงอากาศ.....	32

สารบัญ (ต่อ)

	หน้า
4-2 คานที่สามารถเลื่อนตำแหน่งรองรับ	33
4-2-1 การหาระยะโก่งของคานโดยวิธีจิงกูลาริตีฟังก์ชัน.....	34
4-2-2 การหาค่าความแข็งสปริงของคานที่ใช้ในการทดลอง.....	35
4-3 เปรียบเทียบความแตกต่างของแบบจำลองทางคณิตศาสตร์สำหรับสปริงอากาศ และคาน.....	37
บทที่ 5 การทดลองวิเคราะห์การสั่นสะเทือนของระบบเมื่อติดตั้งตัวกันการสั่นสะเทือน	39
5-1 แบบจำลองทางคณิตศาสตร์ของระบบ.....	43
5-2 อุปกรณ์การทดลอง.....	47
5-3 ขั้นตอนการทดลอง.....	50
5-4 ตำแหน่งและการวัดสัญญาณในพิกัดการเคลื่อนที่ทั้ง 6 พิกัด.....	51
5-5 ผลการทดลอง.....	56
5-6 อภิปรายผลการทดลอง.....	69
บทที่ 6 การทดลองวิเคราะห์ผลของอินเนอร์เทียบล็อก	74
6-1 อุปกรณ์การทดลอง.....	76
6-2 วิธีการทดลอง.....	76
6-3 ผลการทดลอง.....	77
6-4 อภิปรายผลการทดลอง.....	80
บทที่ 7 การทดลองวิเคราะห์การสั่นสะเทือนของระบบเมื่อติดตั้งตัวดูดซับการสั่นสะเทือน	81
อุปกรณ์การทดลอง.....	84
7-1 การทดลอง 7.1 การทดลองวิเคราะห์การสั่นสะเทือนของก้อนมวลหลัก และก้อนมวลดูดซับ.....	86
7-1-1 วิธีการทดลอง.....	86
7-1-2 ผลการทดลอง.....	87
7-1-3 อภิปรายผลการทดลอง.....	101
7-1-4 ผลของค่าความหน่วงที่มีต่อระบบในการทดลอง.....	103
7-1-5 การแก้ไขค่าความแข็งสปริงของสปริงของตัวดูดซับ.....	106

สารบัญ (ต่อ)

	หน้า
7-2 การทดลอง 7.2 การทดลองวิเคราะห์ผลของอัตราส่วนมวล.....	113
7-2-1 วิธีการทดลอง.....	113
7-2-2 ผลการทดลอง.....	113
7-2-3 อภิปรายผลการทดลอง.....	121
บทที่ 8 การควบคุมความถี่สปริงของสปริงของตัวดูดซับการสั่นสะเทือน.....	124
บทที่ 9 การคำนวณออกแบบตัวดูดซับการสั่นสะเทือนเพื่อใช้กับเครื่องจักรจริง.....	129
บทที่ 10 สรุปผลวิทยานิพนธ์ ประโยชน์ที่ได้รับ และข้อเสนอแนะ.....	133
10-1 สรุปผลวิทยานิพนธ์.....	133
10-2 ประโยชน์ที่ได้รับจากงานวิจัย.....	134
10-3 ข้อเสนอแนะ.....	134
เอกสารอ้างอิง.....	135
บรรณานุกรม.....	136
ภาคผนวก.....	137
ภาคผนวก ก โปรแกรมที่ใช้ในการควบคุมระบบ.....	138
ภาคผนวก ข ตัวอย่างภาพสัญญาณโดเมนความถี่ที่ได้จากเครื่องมือวัด MICROLOG.....	160
ภาคผนวก ค ค่าอัตราส่วนความหน่วง (Damping Ratio) โดยประมาณ สำหรับสปริงที่ใช้วัสดุต่าง ๆ กัน.....	175
ภาคผนวก ง การคำนวณหาค่าความถี่ธรรมชาติของระบบในบทที่ 5.....	176
ภาคผนวก จ คำตอบของระบบสมการ 5-18 ในบทที่ 5.....	178
ภาคผนวก ฉ การเคาะทดสอบเพื่อหาค่าอัตราส่วนความหน่วงของระบบ ในหัวข้อ 7-1-4 ผลของค่าความหน่วงที่มีต่อระบบในการทดลอง....	179
ประวัติผู้เขียนวิทยานิพนธ์.....	182

สารบัญตาราง

	หน้า
ตารางที่ 5-1 ข้อมูลดิบแสดงแอมพลิจูดการกระจัดตำแหน่งที่ติดตั้งโพรบ 6 ตำแหน่ง.....	56
ตารางที่ 5-2 การสั่นสะเทือนในพิกัดการเคลื่อนที่เชิงเส้น x และพิกัดการเคลื่อนที่เชิงมุม θ ทาง ทฤษฎีและจากการทดลองที่ความเร็วรอบของเครื่องจักร 300 ถึง 1500 rpm.....	58
ตารางที่ 5-3 การสั่นสะเทือนในพิกัดการเคลื่อนที่เชิงเส้น y และพิกัดการเคลื่อนที่เชิงมุม β ทาง ทฤษฎีและจากการทดลองที่ความเร็วรอบของเครื่องจักร 300 ถึง 1500 rpm.....	60
ตารางที่ 5-4 การสั่นสะเทือนในพิกัดการเคลื่อนที่เชิงเส้น z ทางทฤษฎีและจากการทดลองที่ ความเร็วรอบของเครื่องจักร 300 ถึง 1500 rpm.....	62
ตารางที่ 5-5 การสั่นสะเทือนในพิกัดการเคลื่อนที่เชิงมุม γ ทางทฤษฎีและจากการทดลองที่ ความเร็วรอบของเครื่องจักร 300 ถึง 1500 rpm.....	64
ตารางที่ 5-6 แรงส่งผ่านไปยังพื้น 3 แนวแกนที่ความเร็วรอบเครื่องจักรต่าง ๆ	70
ตารางที่ 6-1 แอมพลิจูดการกระจัดในแนวตั้งเปรียบเทียบเพื่อวิเคราะห์ผลของการติดตั้ง อินเนอร์ซีปัลลอก	77
ตารางที่ 6-2 ขนาดค่าการส่งผ่านในแนวตั้งเปรียบเทียบเพื่อวิเคราะห์ ผลของการติดตั้งอินเนอร์ซีปัลลอก	78
ตารางที่ 7-1 ค่าการส่งผ่านของก้อนมวลหลักจากการทดลอง : อัตราส่วนมวล 0.205.....	88
ตารางที่ 7-2 ค่าการส่งผ่านของก้อนมวลหลักทางทฤษฎี : อัตราส่วนมวล 0.205.....	89
ตารางที่ 7-3 ค่า X_2/X_0 ของก้อนมวลคู่ดัดขึ้นจากการทดลอง : อัตราส่วนมวล 0.205.....	94
ตารางที่ 7-4 ค่า X_2/X_0 ของก้อนมวลคู่ดัดขึ้นทางทฤษฎี : อัตราส่วนมวล 0.205.....	95
ตารางที่ 7-5 ตำแหน่งรองรับคานที่เหมาะสมกับแต่ละความเร็วรอบของเครื่องจักร.....	101
ตารางที่ 7-6 ตัวประกอบแก้ไขสำหรับค่าความแข็งสปริงของสปริงของตัวคู่ดัด (k_2).....	106
ตารางที่ 7-7 ค่าการส่งผ่านของก้อนมวลหลักจากทางทฤษฎีที่ใช้ตัวประกอบแก้ไข : อัตราส่วนมวล 0.205.....	108
ตารางที่ 7-8 ค่าการส่งผ่านของก้อนมวลหลักจากการทดลอง : อัตราส่วนมวล 0.155.....	114
ตารางที่ 7-9 ค่าการส่งผ่านของก้อนมวลหลักจากทางทฤษฎี : อัตราส่วนมวล 0.155.....	115
ตารางที่ 7-10 ค่าการส่งผ่านของก้อนมวลหลักจากการทดลอง : อัตราส่วนมวล 0.254.....	116
ตารางที่ 7-11 ค่าการส่งผ่านของก้อนมวลหลักจากทางทฤษฎี : อัตราส่วนมวล 0.254.....	117

สารบัญตาราง (ต่อ)

	หน้า
ตารางที่ 7-12 ค่าการส่งผ่านเมื่อค่าความแข็งสปริงของสปริงของตัวดูดซับ k_2 คลาดเคลื่อน เปรียบเทียบแต่ละอัตราส่วนมวล.....	122
ตารางที่ 7-13 เปรียบเทียบค่าการส่งผ่านเมื่ออัตราส่วนมวลคลาดเคลื่อนไป 10%.....	123
ตารางที่ 8-1 ลูกอ๊อฟเทเบิลที่ใช้ควบคุมตำแหน่งเชิงมุมของสกรู.....	127
ตารางที่ 8-2 ผลการควบคุมระบบ.....	128
ตารางที่ ค-1 ค่าอัตราส่วนความหน่วง (Damping Ratio) โดยประมาณ สำหรับสปริงที่ใช้วัสดุต่าง ๆ กัน.....	175

สารบัญภาพ

	หน้า
รูปที่ 1-1 ภาพตัวอย่างระบบการกันการสั่นสะเทือนแบบแอกทิฟแบบต่าง ๆ.....	3
รูปที่ 1-2 ภาพร่างของระบบในงานวิจัย.....	5
รูปที่ 1-3 แผนภาพระบบในการทดลอง.....	6
รูปที่ 1-4 สัญญาณแรงที่ลดลงเมื่อผ่านตัวกันการสั่นสะเทือน.....	6
รูปที่ 1-5 ผลตอบสนองทางความถี่ของระบบที่ยังไม่ได้ชดเชย.....	7
รูปที่ 1-6 ผลตอบสนองของตัวชดเชย.....	7
รูปที่ 1-7 ผลตอบสนองของระบบที่มีการชดเชย.....	7
รูปที่ 1-8 อัตราส่วนระหว่างแรงที่ส่งผ่านไปยังฐานรองรับของตัวกันการสั่นสะเทือนแบบแอกทิฟ ที่มีการควบคุมแบบปิดต่อตัวกันการสั่นสะเทือนแบบพาสซีฟ.....	8
รูปที่ 2-1 เครื่องจักรที่มีการติดตั้งตัวกันการสั่นสะเทือน.....	12
รูปที่ 2-2 ระบบเมื่อติดตั้งตัวกันการสั่นสะเทือน (Vibration Isolator) มีตัวหน่วง (Damper) และผังแรงอิสระ (Free Body Diagram).....	13
รูปที่ 2-3 ความสัมพันธ์ระหว่างค่าการส่งผ่านและมุมเฟสกับอัตราส่วนความถี่ โดยมีค่าอัตราส่วนความถี่ต่าง ๆ กัน สำหรับระบบ 1 ลำดับชั้นความถี่.....	15
รูปที่ 2-4 ความสัมพันธ์ระหว่างแรงที่ส่งผ่านไปยังพื้นหรือขนาดการกระจัดกับอัตราส่วนความถี่ สำหรับระบบ 1 ลำดับชั้นความถี่โดยไม่มีค่าความหน่วง และความถี่ธรรมชาติ 400 rpm	16
รูปที่ 2-5 ความสัมพันธ์ระหว่างแรงที่ส่งผ่านไปยังพื้นหรือขนาดการกระจัดกับอัตราส่วน ความถี่สำหรับระบบ 1 ลำดับชั้นความถี่โดยมีค่าอัตราส่วนความถี่ 0.05 และความถี่ธรรมชาติ 400 rpm	17
รูปที่ 2-6 ตัวกันการสั่นสะเทือนแบบต่าง ๆ.....	18
รูปที่ 3-1 แสดงระบบของตัวดูดซับการสั่นสะเทือนและผังแรงอิสระ.....	20
รูปที่ 3-2 รูปแสดงความสัมพันธ์ระหว่างค่าการส่งผ่านกับ $\frac{\omega}{\omega_{22}}$ และ $\frac{X_2}{X_0}$ กับ $\frac{\omega}{\omega_{22}}$ สำหรับระบบ 2 ลำดับชั้นความถี่ในแนวตั้ง โดย $\omega_{11} = \omega_{22}$ และอัตราส่วนมวลเป็น 0.2.....	23
รูปที่ 3-3 แสดงระบบของตัวดูดซับการสั่นสะเทือนที่มีตัวหน่วง.....	25

สารบัญภาพ (ต่อ)

	หน้า
รูปที่ 3-4 รูปแสดงความสัมพันธ์ระหว่าง $\frac{X_1}{X_0}$ และ $\frac{X_2}{X_0}$ กับ $\frac{\omega}{\omega_{22}}$ สำหรับระบบ 2 ลำดับชั้น ความเร็วในแนวตั้ง โดย $\omega_{11} = \omega_{22}$, $\mu = 0.2$, $c_1 = c_2 = c$ และ $c/c_c = 0.05$	28
รูปที่ 4-1 สปริงอากาศ.....	30
รูปที่ 4-2 แผนภาพแสดงการควบคุมระบบของสปริงอากาศ.....	32
รูปที่ 4-3 ค่าความแข็งสปริงของคาน.....	33
รูปที่ 4-4 คานที่สามารถเลื่อนตำแหน่งรองรับที่ใช้ในการทดลอง.....	34
รูปที่ 4-5 ความสัมพันธ์ระหว่างระยะรองรับของคาน a และความดันภายในสปริงอากาศ P กับความเร็วรอบของเครื่องจักร (โดยคานยาว 50 cm. กว้าง 9 cm.หนา 2.8 mm. สปริงอากาศสูง 10 cm. เส้นผ่านศูนย์กลาง 30 cm.).....	38
รูปที่ 5-1 ระบบจำลองที่ใช้ในการวิเคราะห์ผลของตัวกันการสั่นสะเทือนโดยมี 6 ลำดับชั้น ความเร็ว.....	40
รูปที่ 5-2 มังแรงอิสระของระบบที่ติดตั้งตัวกันการสั่นสะเทือน.....	41
รูปที่ 5-3 ค่าความแข็งสปริงในแนวแกน x y และ z.....	42
รูปที่ 5-4 มิติของจานเจาะรูที่ใช้สร้างแรงไม่สมดุล.....	46
รูปที่ 5-5 มอเตอร์ไฟฟ้ากระแสสลับและจานเจาะรูเยื้องศูนย์กลางที่ใช้แทนเครื่องจักร.....	48
รูปที่ 5-6 อินเวอร์ตเตอร์.....	48
รูปที่ 5-7 ไมโครล็อกและโพรบ.....	49
รูปที่ 5-8 ระบบจำลองที่ใช้ในการทดลอง.....	49
รูปที่ 5-9 ตำแหน่งที่ติดโพรบเพื่อวิเคราะห์การสั่นสะเทือน 6 ลำดับชั้นความเร็ว.....	52
รูปที่ 5-10 ตำแหน่งที่ติดตั้งโพรบและวัดสัญญาณการสั่นสะเทือน x.....	53
รูปที่ 5-11 ตำแหน่งที่ติดตั้งโพรบและวัดสัญญาณการสั่นสะเทือน y.....	53
รูปที่ 5-12 ตำแหน่งที่ติดตั้งโพรบและวัดสัญญาณการสั่นสะเทือน z.....	54
รูปที่ 5-13 ตำแหน่งที่ติดตั้งโพรบและวัดสัญญาณการสั่นสะเทือน z_0	54
รูปที่ 5-14 ตำแหน่งที่ติดตั้งโพรบและวัดสัญญาณการสั่นสะเทือน y_β	55
รูปที่ 5-15 ตำแหน่งที่ติดตั้งโพรบและวัดสัญญาณการสั่นสะเทือน y_γ	55

สารบัญภาพ (ต่อ)

	หน้า
รูปที่ 5-16 ความสัมพันธ์ระหว่างค่าการส่งผ่านในแนวแกน x และอัตราส่วนความถี่ สำหรับระบบที่ติดตั้งตัวกันการสั่นสะเทือน วิเคราะห์แบบ 6 ลำดับชั้นความถี่.....	59
รูปที่ 5-17 ความสัมพันธ์ระหว่างแอมพลิจูดการกระจัดเชิงมุม θ_0 และอัตราส่วนความถี่ สำหรับระบบที่ติดตั้งตัวกันการสั่นสะเทือน วิเคราะห์แบบ 6 ลำดับชั้นความถี่.....	59
รูปที่ 5-18 ความสัมพันธ์ระหว่างค่าการส่งผ่านในแนวแกน y และอัตราส่วนความถี่ สำหรับระบบที่ติดตั้งตัวกันการสั่นสะเทือน วิเคราะห์แบบ 6 ลำดับชั้นความถี่.....	61
รูปที่ 5-19 ความสัมพันธ์ระหว่างแอมพลิจูดการกระจัดเชิงมุม β_0 และอัตราส่วนความถี่ สำหรับระบบที่ติดตั้งตัวกันการสั่นสะเทือน วิเคราะห์แบบ 6 ลำดับชั้นความถี่.....	61
รูปที่ 5-20 ความสัมพันธ์ระหว่างค่าการส่งผ่านในแนวแกน z และอัตราส่วนความถี่ สำหรับระบบที่ติดตั้งตัวกันการสั่นสะเทือน วิเคราะห์แบบ 6 ลำดับชั้นความถี่.....	63
รูปที่ 5-21 ความสัมพันธ์ระหว่างแอมพลิจูดการกระจัดเชิงมุม γ_0 และอัตราส่วนความถี่ สำหรับระบบที่ติดตั้งตัวกันการสั่นสะเทือน วิเคราะห์แบบ 6 ลำดับชั้นความถี่.....	65
รูปที่ 5-22 ผังแรงอิสระของระบบ เมื่อจุด CG เยื้องไปตามแนวแกน x เป็นระยะ l.....	71
รูปที่ 6-1 ภาพวาดระบบที่ใช้ในการทดลองวิเคราะห์ผลของอินเนอร์เซียบล็อก.....	75
รูปที่ 6-2 ภาพถ่ายระบบที่ใช้ในการทดลองวิเคราะห์ผลของอินเนอร์เซียบล็อก.....	75
รูปที่ 6-3 แสดงความสัมพันธ์ระหว่างแอมพลิจูดการกระจัดในแนวตั้งและอัตราส่วนความถี่ เพื่อ เปรียบเทียบผลของอินเนอร์เซียบล็อก : วิเคราะห์แบบ 1 ลำดับชั้นความถี่ในแนวตั้ง..	79
รูปที่ 6-4 แสดงความสัมพันธ์ระหว่างขนาดค่าการส่งผ่านในแนวตั้งและอัตราส่วนความถี่ เพื่อ เปรียบเทียบผลของอินเนอร์เซียบล็อก : วิเคราะห์แบบ 1 ลำดับชั้นความถี่ในแนวตั้ง..	79
รูปที่ 7-1 ภาพวาดระบบที่ใช้ในการทดลองวิเคราะห์ผลของตัวดูดซับการสั่นสะเทือน.....	82
รูปที่ 7-2 ภาพถ่ายระบบที่ใช้ในการทดลองวิเคราะห์ผลของตัวดูดซับการสั่นสะเทือน.....	83
รูปที่ 7-3 ตำแหน่งที่ติดตั้งโพรบเพื่อวัดสัญญาณ x_1	83
รูปที่ 7-4 ตำแหน่งที่ติดตั้งโพรบเพื่อวัดสัญญาณ x_2	84
รูปที่ 7-5 มิติของคาน 3 ขนาด.....	85
รูปที่ 7-6 ความสัมพันธ์ระหว่างค่าการส่งผ่านและอัตราส่วนความถี่ของก้อนมวลหลัก เมื่อเลื่อน จุดรองรับไปที่ตำแหน่งต่าง ๆ วิเคราะห์ระบบแบบ 2 ลำดับชั้นความถี่ในแนวตั้ง : อัตราส่วนมวล 0.205	90

สารบัญภาพ (ต่อ)

	หน้า
รูปที่ 7-7 ความสัมพันธ์ระหว่างค่า X_2/X_0 และอัตราส่วนความถี่ของก้อนมวลคู่ค้ำบ เมื่อเลื่อนจุดรองรับไปที่ตำแหน่งต่าง ๆ วิเคราะห์ระบบแบบ 2 ลำดับชั้นความเสรีในแนวตั้ง : อัตราส่วนมวล 0.205.....	96
รูปที่ 7-8 ระบบในการทดลองเมื่อมีความหน่วง.....	103
รูปที่ 7-9 ระบบในการทดลองที่ทำการเคาะทดสอบเพื่อหาค่าความหน่วง.....	103
รูปที่ 7-10 ความสัมพันธ์ระหว่างค่าการส่งผ่านและความเร็วรอบของเครื่องจักรเพื่อวิเคราะห์ผลของค่าความหน่วงต่อระบบ (คำนวณทางทฤษฎี).....	105
รูปที่ 7-11 ความสัมพันธ์ระหว่างค่าการส่งผ่านและอัตราส่วนความถี่ของก้อนมวลหลัก เมื่อเลื่อนจุดรองรับไปที่ตำแหน่งต่าง ๆ เปรียบเทียบเมื่อมีการใช้ตัวประกอบแก้ไข (วิเคราะห์ระบบแบบ 2 ลำดับชั้นความเสรีในแนวตั้ง) : อัตราส่วนมวล 0.205.....	109
รูปที่ 7-12 ความสัมพันธ์ระหว่างค่าการส่งผ่านและอัตราส่วนความถี่ ที่มีอัตราส่วนมวลต่างกัน โดยมีตำแหน่งค่าการส่งผ่านต่ำที่สุดที่อัตราส่วนความถี่เดียวกัน : วิเคราะห์ระบบแบบ 2 ลำดับชั้นความเสรีในแนวตั้ง.....	118
รูปที่ 7-13 ความสัมพันธ์ระหว่างค่าการส่งผ่านและอัตราส่วนความถี่ ที่มีอัตราส่วนมวลต่างกัน โดยมีตำแหน่งค่าการส่งผ่านต่ำที่สุดที่จุดเดียวกัน : วิเคราะห์ระบบแบบ 2 ลำดับชั้นความเสรีในแนวตั้ง (ทางทฤษฎี).....	120
รูปที่ 8-1 การควบคุมตำแหน่งรองรับคาน.....	124
รูปที่ 8-2 บล็อกไดอะแกรมแสดงระบบการควบคุม.....	125
รูปที่ 8-3 วงจรขับมอเตอร์โดยใช้ MOSFET 4 ตัว.....	126
รูปที่ 8-4 วงจรโฟโตไดโอดใช้วัดความเร็วรอบมอเตอร์ที่ใช้แทนเครื่องจักร.....	126
รูปที่ 9-1 เครื่องจักรจริงที่จะออกแบบตัวคู่ค้ำบการสั่นสะเทือน.....	129
รูปที่ 9-2 ภาพของตัวคู่ค้ำบการสั่นสะเทือนที่ออกแบบและมีติเมื่อติดตั้งกับเครื่องจักร.....	131

สารบัญภาพ (ต่อ)

	หน้า
รูปที่ ข-1 ภาพสัญญาณโดเมนความถี่ของการสั่นสะเทือน x จากข้อมูลดิบในตาราง 5-1.....	160
รูปที่ ข-2 ภาพสัญญาณโดเมนความถี่ของการสั่นสะเทือน y จากข้อมูลดิบในตาราง 5-1.....	165
รูปที่ ข-3 ภาพสัญญาณโดเมนความถี่ของการสั่นสะเทือน z จากข้อมูลดิบในตาราง 5-1.....	170
รูปที่ ฉ-1 ระบบในการทดลองเมื่อมีความหน่วง.....	179
รูปที่ ฉ-2 ระบบในการทดลองที่ทำการเคาะทดสอบเพื่อหาค่าความหน่วง.....	180
รูปที่ ฉ-3 สัญญาณความเร่ง \ddot{x}_1 ในช่วงทรานเซียนในรูปแบบโดเมนเวลา.....	180
รูปที่ ฉ-4 สัญญาณความเร่ง \ddot{x}_2 ในช่วงทรานเซียนในรูปแบบโดเมนเวลา.....	181

คำอธิบายสัญลักษณ์

- a คือ ระยะรองรับของคาน
- E คือ ยังโมดูลัส (Young's Modulus)
- c คือ ค่าความหน่วงสำหรับระบบ 1 ลำดับชั้นความเสรี
- c_1 คือ ค่าความหน่วงของตัวกันการสั่นสะเทือน
- c_2 คือ ค่าความหน่วงที่แฝงอยู่ในสปริงของตัวดูดซับ
- F_0 คือ ขนาดของแรงไม่สมดุล (Unbalance Force)
- F_T คือ แรงที่ส่งผ่านไปยังพื้น (Transmitted Force)
- F_y คือ แรงไม่สมดุลในแนวแกน y
- F_x คือ แรงไม่สมดุลในแนวแกน x
- I คือ โมเมนต์ความเฉื่อยของพื้นที่หน้าตัดของคาน
- I_x, I_y, I_z คือ โมเมนต์ความเฉื่อยของมวลรอบแกน x, y, z ตามลำดับ
- k คือ ค่าความแข็งสปริงสำหรับระบบ 1 ลำดับชั้นความเสรี
- k_1 คือ ค่าความแข็งสปริงของตัวกันการสั่นสะเทือน
- k_2 คือ ค่าความแข็งสปริงของสปริงของตัวดูดซับ
- k_x คือ ค่าความแข็งสปริงในแนวแกน x
- k_y คือ ค่าความแข็งสปริงในแนวแกน y
- k_z คือ ค่าความแข็งสปริงในแนวแกน z
- m คือ น้ำหนักของเครื่องจักรและโครงสร้างทั้งหมดที่วางบนตัวกันการสั่นสะเทือน
- m_1 คือ น้ำหนักของก้อนมวลหลัก (Main Mass)
- m_2 คือ น้ำหนักของก้อนมวลดูดซับ (Absorber Mass)
- TR คือ ค่าการส่งผ่าน (Transmissibility)
- x คือ การกระจัดจากตำแหน่งสมดุลทางสถิตในแนวแกน x
- x_1 คือ การกระจัดจากตำแหน่งสมดุลทางสถิตของเครื่องจักรของก้อนมวลหลักในแนวตั้ง
- x_2 คือ การกระจัดจากตำแหน่งสมดุลทางสถิตของเครื่องจักรของก้อนมวลดูดซับในแนวตั้ง
- X คือ ขนาดของการกระจัด x
- X_1 คือ ขนาดของการกระจัด x_1
- X_2 คือ ขนาดของการกระจัด x_2

คำอธิบายสัญลักษณ์ (ต่อ)

y	คือ การกระจัดจากตำแหน่งสมดุลทางสถิตในแนวแกน y
y_β	คือ การกระจัดในแนวแกน y เพื่อใช้ในการหาการกระจัดเชิงมุม β
y_γ	คือ การกระจัดในแนวแกน y เพื่อใช้ในการหาการกระจัดเชิงมุม γ
Y	คือ ขนาดของการกระจัด y
Y_β	คือ ขนาดของการกระจัด y_β
Y_γ	คือ ขนาดของการกระจัด y_γ
z	คือ การกระจัดจากตำแหน่งสมดุลทางสถิตในแนวแกน z
z_θ	คือ การกระจัดในแนวแกน z เพื่อใช้ในการหาการกระจัดเชิงมุม θ
Z	คือ ขนาดของการกระจัด z
Z_θ	คือ ขนาดของการกระจัด z_θ
θ	คือ การกระจัดเชิงมุมรอบแกน y
β	คือ การกระจัดเชิงมุมรอบแกน x
γ	คือ การกระจัดเชิงมุมรอบแกน z
θ_0	คือ ขนาดของการกระจัดเชิงมุม θ
β_0	คือ ขนาดของการกระจัดเชิงมุม β
γ_0	คือ ขนาดของการกระจัดเชิงมุม γ
ζ	คือ ค่าอัตราส่วนความหน่วง (Damping Ratio) สำหรับระบบ 1 ลำดับชั้นความเสรี
ζ_1	คือ ค่าอัตราส่วนความหน่วงของตัวกันการสั่นสะเทือน
ζ_2	คือ ค่าอัตราส่วนความหน่วงที่แฝงอยู่ในสปริงของตัวดูดซับ
ω	คือ ความเร็วรอบของเครื่องจักร
ω_n	คือ ความถี่ธรรมชาติ
ϕ	คือ มุมเฟสของ X เทียบกับแรงที่มากระตุ้น
μ	คือ อัตราส่วนมวล